

$^{114}\text{Cd}(^{48}\text{Ca},6n\gamma):1$  2009Pa17

Type	Author	History Citation	Literature Cutoff Date
Full Evaluation	C. W. Reich	NDS 113, 2537 (2012)	1-Mar-2012

## Additional information 1.

215-MeV  $^{48}\text{Ca}$  beam from the 88-in Cyclotron at LBNL. Two stacked thin self-supporting  $^{114}\text{Cd}$  foils (enrichment not given) with a total thickness of 1.1 mg/cm<sup>2</sup>.  $\gamma$  radiation studied using the Gammasphere array consisting of 102 HPGe detectors. Report E $\gamma$ , I $\gamma$ ,  $\gamma\gamma$ ,  $\gamma(\theta)$ . The high-spin behavior is discussed in terms of state-of-the-art cranked Nilsson-Strutinsky calculations.

 $^{156}\text{Er}$  Levels

E(level) <sup>†</sup>	J $\pi$ #	E(level) <sup>†</sup>	J $\pi$ #
0.0 <sup>@</sup>	0 <sup>+</sup>	5930.2 <sup>b</sup>	8 20 <sup>+</sup>
344.3 <sup>@</sup>	3 2 <sup>+</sup>	6057.4 <sup>g</sup>	8 20 <sup>-</sup>
796.9 <sup>@</sup>	5 4 <sup>+</sup>	6260.2 <sup>c</sup>	8 21 <sup>-</sup>
1303.3 <sup>d</sup>	11 3 <sup>-</sup>	6355.3 <sup>e</sup>	8 21 <sup>-</sup>
1340.3 <sup>@</sup>	5 6 <sup>+</sup>	6436.1 <sup>j</sup>	8 21 <sup>-</sup>
1611.0 <sup>d</sup>	6 5 <sup>-</sup>	6488.4 <sup>&amp;</sup>	9 22 <sup>+</sup>
1630.3 <sup>f</sup>	11 2 <sup>-</sup>	6662.0 <sup>b</sup>	9 22 <sup>+</sup>
1813.4 <sup>f</sup>	7 4 <sup>-</sup>	6739.7 <sup>h</sup>	8 22 <sup>-</sup>
1958.0 <sup>@</sup>	6 8 <sup>+</sup>	6866.5 <sup>c</sup>	9 23 <sup>-</sup>
2028.6 <sup>d</sup>	6 7 <sup>-</sup>	7052.9 <sup>j</sup>	9 23 <sup>-</sup>
2203.5 <sup>f</sup>	6 6 <sup>-</sup>	7108.7 <sup>e</sup>	9 23 <sup>-</sup>
2488.8 <sup>e</sup>	6 9 <sup>-</sup>	7315.0 <sup>&amp;</sup>	10 24 <sup>+</sup>
2600.3 <sup>f</sup>	6 8 <sup>-</sup>	7413.6 <sup>h</sup>	9 24 <sup>-</sup>
2632.0 <sup>@</sup>	6 10 <sup>+</sup>	7443.0 <sup>b</sup>	9 24 <sup>+</sup>
2902.3 <sup>g</sup>	7 10 <sup>-</sup>	7491.6	10 24 <sup>+</sup>
2922.6 <sup>e</sup>	7 11 <sup>-</sup>	7599.8 <sup>c</sup>	10 25 <sup>-</sup>
3080.4 <sup>i</sup>	7 11 <sup>-</sup>	7648.4 <sup>j</sup>	9 25 <sup>-</sup>
3313.6 <sup>&amp;</sup>	7 12 <sup>+</sup>	7978.9	10
3383.1 <sup>g</sup>	7 12 <sup>-</sup>	8081.3 <sup>&amp;</sup>	10 26 <sup>+</sup>
3431.3 <sup>e</sup>	7 13 <sup>-</sup>	8100.3 <sup>h</sup>	9 26 <sup>-</sup>
3438.5 <sup>@</sup>	8 12 <sup>+</sup>	8209.9 <sup>b</sup>	10 26 <sup>+</sup>
3672.5 <sup>i</sup>	8 13 <sup>-</sup>	8288.3 <sup>c</sup>	11 27 <sup>-</sup>
3835.6 <sup>&amp;</sup>	7 14 <sup>+</sup>	8323.8	11
3952.9 <sup>g</sup>	7 14 <sup>-</sup>	8392.8 <sup>j</sup>	9 27 <sup>-</sup>
4034.1 <sup>e</sup>	7 15 <sup>-</sup>	8847.8 <sup>a</sup>	10 28 <sup>+</sup>
4308.9 <sup>i</sup>	8 15 <sup>-</sup>	8866.0 <sup>h</sup>	10 28 <sup>-</sup>
4379.4 <sup>&amp;</sup>	7 16 <sup>+</sup>	8901.2	11
4592.0 <sup>g</sup>	8 16 <sup>-</sup>	8964.1 <sup>&amp;</sup>	10 28 <sup>+</sup>
4710.5 <sup>e</sup>	7 17 <sup>-</sup>	9067.2 <sup>b</sup>	10 28 <sup>+</sup>
4781.5 <sup>b</sup>	8 16 <sup>+</sup>	9196.7 <sup>c</sup>	13 29 <sup>-</sup>
4999.7 <sup>i</sup>	8 17 <sup>-</sup>	9287.2 <sup>j</sup>	9 29 <sup>-</sup>
5005.6 <sup>&amp;</sup>	8 18 <sup>+</sup>	9646.9 <sup>a</sup>	10 30 <sup>+</sup>
5296.3 <sup>g</sup>	8 18 <sup>-</sup>	9692.4 <sup>h</sup>	11 30 <sup>-</sup>
5337.3 <sup>b</sup>	8 18 <sup>+</sup>	10105.1 <sup>c</sup>	14 31 <sup>-</sup>
5494.7 <sup>e</sup>	8 19 <sup>-</sup>	10181.2 <sup>j</sup>	11 31 <sup>-</sup>
5673.5 <sup>c</sup>	8 19 <sup>-</sup>	10413.6 <sup>a</sup>	11 32 <sup>+</sup>
5715.7 <sup>&amp;</sup>	8 20 <sup>+</sup>	10531.2 <sup>h</sup>	12 32 <sup>-</sup>
5786.8 <sup>i</sup>	8 19 <sup>-</sup>	10925.5 <sup>j</sup>	12 33 <sup>-</sup>

Continued on next page (footnotes at end of table)

<sup>114</sup>Cd(<sup>48</sup>Ca,6n $\gamma$ ):1 **2009Pa17** (continued)

<sup>156</sup>Er Levels (continued)

E(level) <sup>†</sup>	J <sup>π</sup> #	Comments
11095.9 <sup>a</sup> 12	34 <sup>+</sup>	
11186.1 <sup>c</sup> 16	33 <sup>-</sup>	
11332.0 12	34 <sup>+</sup>	
11452.2 <sup>h</sup> 12	34 <sup>-</sup>	
11576.5 12	34 <sup>-</sup>	
11816.0 13	35 <sup>+</sup>	
11973.6 <sup>j</sup> 13	(35 <sup>-</sup> )	
12034.3 <sup>a</sup> 13	36 <sup>+</sup>	
12138.5 12	(35 <sup>-</sup> )	
12422.0 <sup>h</sup> 12	36 <sup>-</sup>	
13057.1 <sup>h</sup> 14	38 <sup>-</sup>	
13201.4 <sup>a</sup> 14	38 <sup>+</sup>	
13401.3 14	38 <sup>+</sup>	
13866.0 <sup>a</sup> 15	40 <sup>+</sup>	
14033.2 14	40 <sup>+</sup>	
14420.5 <sup>a</sup> 15	42 <sup>+</sup>	Band termination point. Above this level, the states are presumed (2009Pa17) to include excitations of the <sup>146</sup> Gd core. J <sup>π</sup> : State represents the full alignment of the ten valence nucleons outside the <sup>146</sup> Gd core. Configuration is ( $\pi$ h <sub>11/2</sub> <sup>4</sup> 16 <sup>+</sup> ) $\otimes$ [(i <sub>13/2</sub> <sup>2</sup> 12 <sup>+</sup> )(v f <sub>7/2</sub> ,h <sub>9/2</sub> <sup>4</sup> ) <sub>14</sub> <sup>+</sup> ] <sub>26</sub> <sup>+</sup> .
15477.6 <sup>‡</sup> 16	43 <sup>(-)</sup>	
15762.5 <sup>‡</sup> 18	44 <sup>+</sup>	
15812.5 <sup>‡</sup> 18	44 <sup>+</sup>	
15984.6 <sup>‡</sup> 19		
16041.5 <sup>‡</sup> 18	44 <sup>+</sup>	
16373.5 <sup>‡</sup> 20		
16581.5 <sup>‡</sup> 16	44 <sup>+</sup>	

<sup>†</sup> From a least-squares fit by the evaluator to the listed E<sub>γ</sub> values.

<sup>‡</sup> Level is expected to involve excitations from the <sup>146</sup>Gd core.

# Values as reported by 2009Pa17 and based on proposed band structure and  $\gamma$ -decay properties, measured angular distributions consistency of deduced B(M1)/B(E2) and B(E1)/B(E2) ratios.

@ Band(A): K<sup>π</sup>=0<sup>+</sup> g.s. band. Band crossed by an aligned (i<sub>13/2</sub>) two-quasineutron (AB)  $\acute{e}$ citation near  $\hbar\omega=0.30$  MeV (above J=10).

& Band(B): Aligned i<sub>13/2</sub> two-quasineutron (AB) band.

<sup>a</sup> Band(C): Band based on a 28<sup>+</sup> level. Proposed extension of Bands(B) and (D), both of which experience band crossings near  $\hbar\omega=0.39$  MeV (J<sup>π</sup>≈28<sup>+</sup>). Above  $\hbar\omega\approx 0.4$  MeV, band seems noncollective in nature. Possible weakly deformed oblate triaxial terminating band (2009Pa17).

<sup>b</sup> Band(D): Band based on a 16<sup>+</sup> level. Band possibly results from the coupling of the aligned i<sub>13/2</sub> two-quasineutron (AB) band and the  $\gamma$ -vibrational band. Note that a subsequent high-spin study (2011Re06) identifies 12<sup>+</sup> and 14<sup>+</sup> levels lying below the 16<sup>+</sup> level which they associate with this band.

<sup>c</sup> Band(E): Odd-spin negative parity band based on 19<sup>-</sup>. Band associated with Bands(F) and (f).

<sup>d</sup> Band(F): Odd-spin negative-parity band. Probable octupole-based excitation. Undergoes a backbend near  $\hbar\omega=0.2$  MeV (J>7).

<sup>e</sup> Band(f): Probable - $\pi$  prolate two-neutron quasiparticle band. Associated with the band crossing of Band(G).

<sup>f</sup> Band(G): Even-spin negative-parity band. Probable octupole-based excitation. Undergoes a backbend near  $\hbar\omega=0.2$  MeV (J>8).

<sup>g</sup> Band(H): Probable - $\pi$  prolate two-neutron quasiparticle band. Associated with the band crossing of Band(G).

<sup>h</sup> Band(I): Probable extension of Band(G).

<sup>i</sup> Band(J): Odd-spin negative-parity band based on 11<sup>-</sup>.

<sup>j</sup> Band(j): Band associated with Band(I).

$^{114}\text{Cd}(^{48}\text{Ca},6n\gamma):1$  **2009Pa17 (continued)** $\gamma(^{156}\text{Er})$ 

Where  $A_4=0$  is listed, this indicates that it was set to zero in the angular-distribution fit.

$E_\gamma$ †	$I_\gamma$ ‡	$E_i(\text{level})$	$J_i^\pi$	$E_f$	$J_f^\pi$	Mult. #	Comments
118.3 6	<1	3431.3	13 <sup>-</sup>	3313.6	12 <sup>+</sup>	E1	$A_2=-0.3$ 2; $A_4=0$
<sup>x</sup> 163 1	<1					(D)	$A_2=-0.1$ 1; $A_4=0$
176.1 6	<1	6436.1	21 <sup>-</sup>	6260.2	21 <sup>-</sup>		
186.0 6	<1	7052.9	23 <sup>-</sup>	6866.5	23 <sup>-</sup>		
<sup>x</sup> 191 1	<1					(D)	$A_2=-0.08$ 4; $A_4=0$
202.5 6	<1	6260.2	21 <sup>-</sup>	6057.4	20 <sup>-</sup>		
218.3 6	2.2 2	12034.3	36 <sup>+</sup>	11816.0	35 <sup>+</sup>	M1+E2	$A_2=-0.21$ 3; $A_4=+0.03$ 4
234.6 6	<1	7648.4	25 <sup>-</sup>	7413.6	24 <sup>-</sup>		
<sup>x</sup> 243 1	<1					(M1+E2)	$A_2=-0.6$ 1; $A_4=0.0$ 1
<sup>x</sup> 266 1	<1					(E2)	$A_2=+0.20$ 5; $A_4=-0.06$ 6
270.4 6	2.9 3	2902.3	10 <sup>-</sup>	2632.0	10 <sup>+</sup>	E1	$A_2=+0.3$ 1; $A_4=0.0$ 1
							Mult.: $\Delta J=0$ transition.
<sup>x</sup> 282 1	<1					(E2)	$A_2=+0.16$ 8; $A_4=+0.05$ 11
283.4 6	<1	12422.0	36 <sup>-</sup>	12138.5	(35 <sup>-</sup> )		
289.8 6	<1	3672.5	13 <sup>-</sup>	3383.1	12 <sup>-</sup>		
290.4 3	18 1	2922.6	11 <sup>-</sup>	2632.0	10 <sup>+</sup>	E1	$A_2=-0.10$ 3; $A_4=+0.03$ 4
292.4 6	<1	8392.8	27 <sup>-</sup>	8100.3	26 <sup>-</sup>		
301.8 6	5.2 5	2902.3	10 <sup>-</sup>	2600.3	8 <sup>-</sup>	E2	$A_2=+0.15$ 6; $A_4=-0.08$ 8
306.7 6	<1	6662.0	22 <sup>+</sup>	6355.3	21 <sup>-</sup>		
344.3 3	100	344.3	2 <sup>+</sup>	0.0	0 <sup>+</sup>	E2	$A_2=+0.16$ 3; $A_4=+0.02$ 4
345 1	<1	8323.8		7978.9			
356.3 6	<1	4308.9	15 <sup>-</sup>	3952.9	14 <sup>-</sup>		
359.5 6	<1	9646.9	30 <sup>+</sup>	9287.2	29 <sup>-</sup>	E1	$A_2=-0.05$ 8; $A_4=0$
369.8 6	<1	7108.7	23 <sup>-</sup>	6739.7	22 <sup>-</sup>		
376.6 6	<1	5673.5	19 <sup>-</sup>	5296.3	18 <sup>-</sup>		
378.5 6	<1	6436.1	21 <sup>-</sup>	6057.4	20 <sup>-</sup>		
384.5 6	<1	6739.7	22 <sup>-</sup>	6355.3	21 <sup>-</sup>		
387.4 6	<1	14420.5	42 <sup>+</sup>	14033.2	40 <sup>+</sup>		
390.0 6	<1	2203.5	6 <sup>-</sup>	1813.4	4 <sup>-</sup>	E2	$A_2=+0.46$ 5; $A_4=-0.02$ 6
396.7 6	2.1 2	2600.3	8 <sup>-</sup>	2203.5	6 <sup>-</sup>		
397.5 6	1.1 1	3835.6	14 <sup>+</sup>	3438.5	12 <sup>+</sup>		
407.8 6	<1	4999.7	17 <sup>-</sup>	4592.0	16 <sup>-</sup>		
413.7 6	7.0 7	2902.3	10 <sup>-</sup>	2488.8	9 <sup>-</sup>		
417.3 6	2.0 2	2028.6	7 <sup>-</sup>	1611.0	5 <sup>-</sup>		
421.5 6	<1	9287.2	29 <sup>-</sup>	8866.0	28 <sup>-</sup>		
433.6 3	31 2	2922.6	11 <sup>-</sup>	2488.8	9 <sup>-</sup>	E2	$A_2=+0.29$ 3; $A_4=+0.01$ 4
435.1 6	<1	5930.2	20 <sup>+</sup>	5494.7	19 <sup>-</sup>		
447.9 6	2.2 2	3080.4	11 <sup>-</sup>	2632.0	10 <sup>+</sup>		
452.6 3	82 4	796.9	4 <sup>+</sup>	344.3	2 <sup>+</sup>	E2	$A_2=+0.25$ 3; $A_4=0.02$ 4
460.8 6	7.2 7	2488.8	9 <sup>-</sup>	2028.6	7 <sup>-</sup>	E2	$A_2=+0.5$ 1; $A_4=0.0$ 1
460.9 6	1.6 2	3383.1	12 <sup>-</sup>	2922.6	11 <sup>-</sup>		
479.6 6	<1	6739.7	22 <sup>-</sup>	6260.2	21 <sup>-</sup>		
480.9 6	9.7 10	3383.1	12 <sup>-</sup>	2902.3	10 <sup>-</sup>	E2	$A_2=+0.38$ 6; $A_4=0$
487.1 6	<1	7978.9		7491.6	24 <sup>+</sup>		
488.8 6	<1	10181.2	31 <sup>-</sup>	9692.4	30 <sup>-</sup>		
490.8 6	<1	5786.8	19 <sup>-</sup>	5296.3	18 <sup>-</sup>		
507 1	<1	15984.6		15477.6	43 <sup>(-)</sup>		
508.4 3	42 2	3431.3	13 <sup>-</sup>	2922.6	11 <sup>-</sup>	E2	$A_2=+0.31$ 3; $A_4=0$
522.0 6	<1	3952.9	14 <sup>-</sup>	3431.3	13 <sup>-</sup>		
522.2 3	15 1	3835.6	14 <sup>+</sup>	3313.6	12 <sup>+</sup>	E2	$A_2=+0.43$ 3; $A_4=+0.01$ 4
530.6 3	31 2	2488.8	9 <sup>-</sup>	1958.0	8 <sup>+</sup>	E1	$A_2=-0.12$ 3; $A_4=+0.06$ 4
536.1 6	<1	7978.9		7443.0	24 <sup>+</sup>		

Continued on next page (footnotes at end of table)

$^{114}\text{Cd}(^{48}\text{Ca},6n\gamma):1$  2009Pa17 (continued) $\gamma(^{156}\text{Er})$  (continued)

$E_\gamma$ †	$I_\gamma$ ‡	$E_i(\text{level})$	$J_i^\pi$	$E_f$	$J_f^\pi$	Mult. #	Comments
539.2 6	<1	7648.4	25 <sup>-</sup>	7108.7	23 <sup>-</sup>		
543.6 3	69 4	1340.3	6 <sup>+</sup>	796.9	4 <sup>+</sup>	E2	$A_2=+0.36$ 3; $A_4=-0.02$ 4
543.8 3	14 1	4379.4	16 <sup>+</sup>	3835.6	14 <sup>+</sup>	[E2]	
547.2 6	<1	7413.6	24 <sup>-</sup>	6866.5	23 <sup>-</sup>		
554.4 6	2.1 2	14420.5	42 <sup>+</sup>	13866.0	40 <sup>+</sup>	E2	$A_2=+0.46$ 3; $A_4=0$ $A_2, A_4$ values for the 554.4,556.0 doublet.
556.0 6	8.6 9	5337.3	18 <sup>+</sup>	4781.5	16 <sup>+</sup>	E2	$A_2=+0.46$ 3; $A_4=0$ $A_2, A_4$ values for the 554.4,556.0 doublet.
557.3 6	<1	4592.0	16 <sup>-</sup>	4034.1	15 <sup>-</sup>		
562.9 6	<1	6057.4	20 <sup>-</sup>	5494.7	19 <sup>-</sup>		
569.8 3	12 1	3952.9	14 <sup>-</sup>	3383.1	12 <sup>-</sup>	E2	$A_2=+0.36$ 3; $A_4=0$
572.0 6	<1	2600.3	8 <sup>-</sup>	2028.6	7 <sup>-</sup>		
577.5 6	<1	8901.2		8323.8			
579.8 6	1.1 1	9646.9	30 <sup>+</sup>	9067.2	28 <sup>+</sup>		
585.9 6	<1	5296.3	18 <sup>-</sup>	4710.5	17 <sup>-</sup>		
587.1 6	<1	6260.2	21 <sup>-</sup>	5673.5	19 <sup>-</sup>		
589.9 6	<1	8081.3	26 <sup>+</sup>	7491.6	24 <sup>+</sup>		
591.6 @ 6	2.8 @ 3	3080.4	11 <sup>-</sup>	2488.8	9 <sup>-</sup>		
591.6 @ 6	2.8 @ 3	3672.5	13 <sup>-</sup>	3080.4	11 <sup>-</sup>		
592.1 6	<1	2203.5	6 <sup>-</sup>	1611.0	5 <sup>-</sup>		
593.0 6	8.4 8	5930.2	20 <sup>+</sup>	5337.3	18 <sup>+</sup>		
595.8 6	5.0 5	7648.4	25 <sup>-</sup>	7052.9	23 <sup>-</sup>		
602.5 3	39 2	4034.1	15 <sup>-</sup>	3431.3	13 <sup>-</sup>	E2	$A_2=+0.3$ 1; $A_4=0$
605.9 6	2.7 3	6866.5	23 <sup>-</sup>	6260.2	21 <sup>-</sup>		
611 1	<1	16373.5		15762.5	44 <sup>+</sup>		
617.4 6	5.2 5	7052.9	23 <sup>-</sup>	6436.1	21 <sup>-</sup>		
617.5 3	53 3	1958.0	8 <sup>+</sup>	1340.3	6 <sup>+</sup>	E2	$A_2=+0.37$ 3; $A_4=0.00$ 4
626.3 3	14 1	5005.6	18 <sup>+</sup>	4379.4	16 <sup>+</sup>	E2	$A_2=+0.41$ 3; $A_4=-0.03$ 4
626.9 6	1.7 2	5337.3	18 <sup>+</sup>	4710.5	17 <sup>-</sup>		
632.0 6	<1	14033.2	40 <sup>+</sup>	13401.3	38 <sup>+</sup>		
635.1 6	<1	13057.1	38 <sup>-</sup>	12422.0	36 <sup>-</sup>		
636.2 6	3.3 3	4308.9	15 <sup>-</sup>	3672.5	13 <sup>-</sup>		
637.4 6	<1	8847.8	28 <sup>+</sup>	8209.9	26 <sup>+</sup>		
639.4 6	8.9 9	4592.0	16 <sup>-</sup>	3952.9	14 <sup>-</sup>	E2	$A_2=+0.35$ 6; $A_4=0$
641.7 6	<1	2600.3	8 <sup>-</sup>	1958.0	8 <sup>+</sup>		
649.8 6	3.5 4	6436.1	21 <sup>-</sup>	5786.8	19 <sup>-</sup>		
651.1 6	<1	11576.5	34 <sup>-</sup>	10925.5	33 <sup>-</sup>		
664.4 6	3.4 3	13866.0	40 <sup>+</sup>	13201.4	38 <sup>+</sup>	E2	$A_2=+0.40$ 3; $A_4=+0.03$ 4
673.6 6	<1	5673.5	19 <sup>-</sup>	4999.7	17 <sup>-</sup>		
673.9 6	6.1 6	7413.6	24 <sup>-</sup>	6739.7	22 <sup>-</sup>		
674.1 3	47 2	2632.0	10 <sup>+</sup>	1958.0	8 <sup>+</sup>	E2	$A_2=+0.36$ 3; $A_4=-0.01$ 4
676.4 3	22 1	4710.5	17 <sup>-</sup>	4034.1	15 <sup>-</sup>		
681.6 6	<1	6355.3	21 <sup>-</sup>	5673.5	19 <sup>-</sup>		
681.8 3	20 1	3313.6	12 <sup>+</sup>	2632.0	10 <sup>+</sup>	E2	$A_2=+0.43$ 3; $A_4=-0.02$ 4
682.4 6	3.3 3	11095.9	34 <sup>+</sup>	10413.6	32 <sup>+</sup>		
682.9 6	3.0 3	6739.7	22 <sup>-</sup>	6057.4	20 <sup>-</sup>		
683.0 6	<1	9646.9	30 <sup>+</sup>	8964.1	28 <sup>+</sup>		
686.8 6	5.9 6	8100.3	26 <sup>-</sup>	7413.6	24 <sup>-</sup>		
688.5 6	1.7 2	8288.3	27 <sup>-</sup>	7599.8	25 <sup>-</sup>		
688.6 3	12 1	2028.6	7 <sup>-</sup>	1340.3	6 <sup>+</sup>		
691.0 6	2.7 3	4999.7	17 <sup>-</sup>	4308.9	15 <sup>-</sup>		
702.2 6	<1	12034.3	36 <sup>+</sup>	11332.0	34 <sup>+</sup>		
703.7 6	6.8 7	5296.3	18 <sup>-</sup>	4592.0	16 <sup>-</sup>		
710.2 3	13 1	5715.7	20 <sup>+</sup>	5005.6	18 <sup>+</sup>	E2	$A_2=+0.17$ 3; $A_4=-0.09$ 5
720.1 6	3.2 3	11816.0	35 <sup>+</sup>	11095.9	34 <sup>+</sup>	M1+E2	$A_2=+0.12$ 3; $A_4=+0.04$ 4

Continued on next page (footnotes at end of table)

$^{114}\text{Cd}(^{48}\text{Ca},6n\gamma):1$  2009Pa17 (continued) $\gamma(^{156}\text{Er})$  (continued)

$E_\gamma$ †	$I_\gamma$ ‡	$E_i(\text{level})$	$J_i^\pi$	$E_f$	$J_f^\pi$	Mult. #	Comments
731.7 6	8.8 9	6662.0	22 <sup>+</sup>	5930.2	20 <sup>+</sup>	E2	$A_2=+0.36$ 4; $A_4=0$
733.3 6	2.4 2	7599.8	25 <sup>-</sup>	6866.5	23 <sup>-</sup>		
744.2 @ 6	7.8 @ 8	8392.8	27 <sup>-</sup>	7648.4	25 <sup>-</sup>	E2	$A_2=+0.33$ 4; $A_4=+0.01$ 5 Note: $\gamma$ is doubly placed.
744.2 @ 6	7.8 @ 8	10925.5	33 <sup>-</sup>	10181.2	31 <sup>-</sup>	E2	$A_2=+0.33$ 4; $A_4=+0.01$ 5 Note: $\gamma$ is doubly placed.
745.7 6	<1	9646.9	30 <sup>+</sup>	8901.2			
747.0 6	5.0 5	4781.5	16 <sup>+</sup>	4034.1	15 <sup>-</sup>		
752.0 6	<1	7108.7	23 <sup>-</sup>	6355.3	21 <sup>-</sup>		
760.8 6	4.2 4	6057.4	20 <sup>-</sup>	5296.3	18 <sup>-</sup>		
765.5 6	2.1 3	6260.2	21 <sup>-</sup>	5494.7	19 <sup>-</sup>		
766.0 6	3.0 3	8866.0	28 <sup>-</sup>	8100.3	26 <sup>-</sup>		
766.5 6	5.0 5	8209.9	26 <sup>+</sup>	7443.0	24 <sup>+</sup>		
766.7 & 6	4.5 & 5	8081.3	26 <sup>+</sup>	7315.0	24 <sup>+</sup>	E2	$A_2=+0.40$ 3; $A_4=-0.03$ 4
766.7 & 6	2.8 & 3	8847.8	28 <sup>+</sup>	8081.3	26 <sup>+</sup>		
766.7 & 6	3.4 & 3	10413.6	32 <sup>+</sup>	9646.9	30 <sup>+</sup>		
772.9 6	8.9 9	6488.4	22 <sup>+</sup>	5715.7	20 <sup>+</sup>	E2	$A_2=+0.43$ 3; $A_4=-0.05$ 4
780.9 6	5.8 6	7443.0	24 <sup>+</sup>	6662.0	22 <sup>+</sup>		
783.9 3	16 1	5494.7	19 <sup>-</sup>	4710.5	17 <sup>-</sup>		
787.5 6	3.3 3	5786.8	19 <sup>-</sup>	4999.7	17 <sup>-</sup>		
793.0 & 6	<1 &	7052.9	23 <sup>-</sup>	6260.2	21 <sup>-</sup>		
793.0 & 6	1.1 & 1	8392.8	27 <sup>-</sup>	7599.8	25 <sup>-</sup>		
798.9 6	2.2 2	9646.9	30 <sup>+</sup>	8847.8	28 <sup>+</sup>	E2	$A_2=+0.49$ 4; $A_4=0$
806.8 6	1.4 1	3438.5	12 <sup>+</sup>	2632.0	10 <sup>+</sup>		
813.5 6	<1	1611.0	5 <sup>-</sup>	796.9	4 <sup>+</sup>		
826.4 6	4.4 4	9692.4	30 <sup>-</sup>	8866.0	28 <sup>-</sup>		
826.9 6	5.6 6	7315.0	24 <sup>+</sup>	6488.4	22 <sup>+</sup>	E2	$A_2=+0.48$ 3; $A_4=0$
831.9 6	<1	14033.2	40 <sup>+</sup>	13201.4	38 <sup>+</sup>		
838.8 6	2.1 2	10531.2	32 <sup>-</sup>	9692.4	30 <sup>-</sup>		
845.7 6	<1	12422.0	36 <sup>-</sup>	11576.5	34 <sup>-</sup>		
857.4 6	2.2 2	9067.2	28 <sup>+</sup>	8209.9	26 <sup>+</sup>		
859.7 6	3.3 3	6355.3	21 <sup>-</sup>	5494.7	19 <sup>-</sup>		
863.5 6	2.2 2	2203.5	6 <sup>-</sup>	1340.3	6 <sup>+</sup>		
882.9 6	3.3 3	8964.1	28 <sup>+</sup>	8081.3	26 <sup>+</sup>	E2	$A_2=+0.39$ 3; $A_4=0$
894.0 @ 6	7.2 @ 7	9287.2	29 <sup>-</sup>	8392.8	27 <sup>-</sup>		
894.0 @ 6	7.2 @ 7	10181.2	31 <sup>-</sup>	9287.2	29 <sup>-</sup>		
908.4 @ 6	<1 @	9196.7	29 <sup>-</sup>	8288.3	27 <sup>-</sup>		
908.4 @ 6	<1 @	10105.1	31 <sup>-</sup>	9196.7	29 <sup>-</sup>		
918.4 6	<1	11332.0	34 <sup>+</sup>	10413.6	32 <sup>+</sup>		
920.9 6	<1	11452.2	34 <sup>-</sup>	10531.2	32 <sup>-</sup>		
924.8 6	<1	5930.2	20 <sup>+</sup>	5005.6	18 <sup>+</sup>		
938.4 6	3.4 3	12034.3	36 <sup>+</sup>	11095.9	34 <sup>+</sup>	E2	$A_2=+0.40$ 4; $A_4=+0.06$ 5
946.4 6	<1	4781.5	16 <sup>+</sup>	3835.6	14 <sup>+</sup>		
957.9 6	<1	5337.3	18 <sup>+</sup>	4379.4	16 <sup>+</sup>		
959 1	<1	1303.3	3 <sup>-</sup>	344.3	2 <sup>+</sup>		$E_\gamma$ : Value from the authors' level scheme. $\gamma$ not listed in their table of $\gamma$ -ray properties.
964.0 6	1.1 1	5673.5	19 <sup>-</sup>	4710.5	17 <sup>-</sup>		
965.3 6	<1	4999.7	17 <sup>-</sup>	4034.1	15 <sup>-</sup>		
969.8 6	<1	12422.0	36 <sup>-</sup>	11452.2	34 <sup>-</sup>		
1003.1 6	1.1 1	7491.6	24 <sup>+</sup>	6488.4	22 <sup>+</sup>		
1016.4 6	<1	1813.4	4 <sup>-</sup>	796.9	4 <sup>+</sup>		
1045.5 6	<1	11576.5	34 <sup>-</sup>	10531.2	32 <sup>-</sup>		
1048.1 6	<1	11973.6	(35 <sup>-</sup> )	10925.5	33 <sup>-</sup>		

Continued on next page (footnotes at end of table)

$^{114}\text{Cd}(^{48}\text{Ca},6n\gamma):1$  **2009Pa17** (continued) $\gamma(^{156}\text{Er})$  (continued)

$E_\gamma^\dagger$	$I_\gamma^\ddagger$	$E_i(\text{level})$	$J_i^\pi$	$E_f$	$J_f^\pi$	Mult. <sup>#</sup>	Comments
1057.1 6	<1	15477.6	43 <sup>(-)</sup>	14420.5	42 <sup>+</sup>	(E1)	$A_2=-0.34$ 5; $A_4=+0.09$ 7
1076.2 6	<1	5786.8	19 <sup>-</sup>	4710.5	17 <sup>-</sup>		
1081.0 6	<1	11186.1	33 <sup>-</sup>	10105.1	31 <sup>-</sup>		
1167.1 6	3.3 3	13201.4	38 <sup>+</sup>	12034.3	36 <sup>+</sup>	E2	$A_2=+0.38$ 3; $A_4=-0.02$ 4
1212.9 6	<1	12138.5	(35 <sup>-</sup> )	10925.5	33 <sup>-</sup>		
1286 1	<1	1630.3	2 <sup>-</sup>	344.3	2 <sup>+</sup>		$E_\gamma$ : Value from the authors' level scheme. $\gamma$ not listed in their table of $\gamma$ -ray properties.
1342 1	<1	15762.5	44 <sup>+</sup>	14420.5	42 <sup>+</sup>	E2	$A_2=+0.21$ 6; $A_4=+0.07$ 8
1367.0 6	<1	13401.3	38 <sup>+</sup>	12034.3	36 <sup>+</sup>	E2	$A_2=+0.28$ 9; $A_4=+0.03$ 11
1392 1	<1	15812.5	44 <sup>+</sup>	14420.5	42 <sup>+</sup>	E2	$A_2=+0.5$ 2; $A_4=0$
1621 1	<1	16041.5	44 <sup>+</sup>	14420.5	42 <sup>+</sup>	E2	$A_2=+0.3$ 1; $A_4=0$
2161 1	<1	16581.5	44 <sup>+</sup>	14420.5	42 <sup>+</sup>	E2	$A_2=+0.4$ 1; $A_4=0$

<sup>†</sup> The listed uncertainties are derived from a general statement by the authors and are as follows: for  $I_\gamma > 10$ ,  $\Delta E_\gamma = 0.3$  keV; for weaker transitions,  $\Delta E_\gamma = 0.6$  keV. For  $E_\gamma$  values quoted to only the nearest 1 keV,  $\Delta E_\gamma = 1.0$  keV.

<sup>‡</sup> The listed uncertainties are estimated (2009Pa17) to be less than 5% for strong transitions ( $I_\gamma > 10\%$ ) and less than 10% for the weaker transitions. For those  $\gamma$ 's for which 2009Pa17 list no  $I_\gamma$  values, the values are <1.

<sup>#</sup> From  $\gamma(\theta)$  values, including considerations from other studies, where the electric or magnetic character was determined explicitly.

<sup>@</sup> Multiply placed with undivided intensity.

<sup>&</sup> Multiply placed with intensity suitably divided.

<sup>x</sup>  $\gamma$  ray not placed in level scheme.

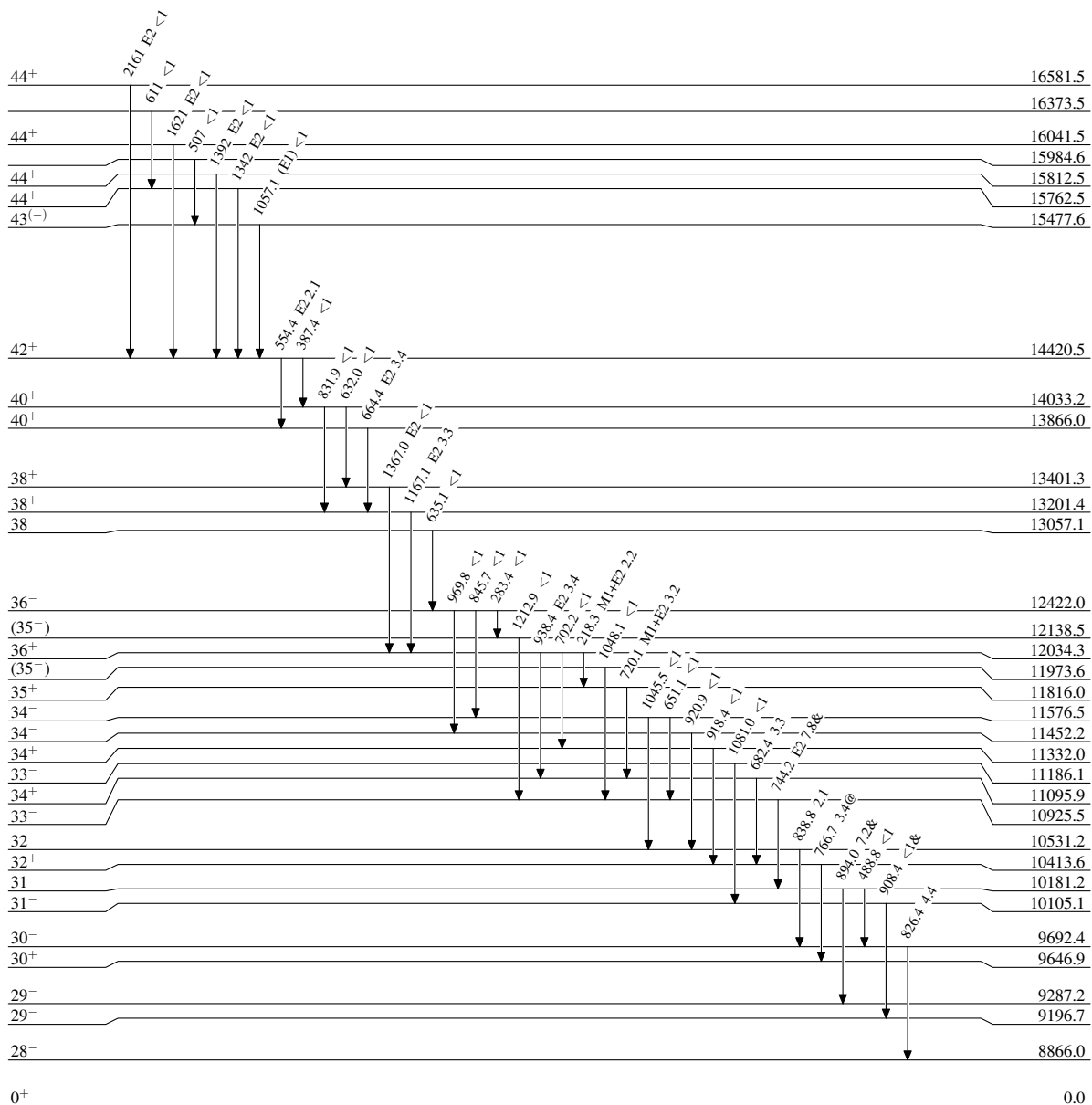
$^{114}\text{Cd}(^{48}\text{Ca},6n\gamma):1$  2009Pa17

Level Scheme

Intensities: Relative  $I_\gamma$   
 & Multiply placed: undivided intensity given  
 @ Multiply placed: intensity suitably divided

Legend

- $I_\gamma < 2\% \times I_\gamma^{max}$
- $I_\gamma < 10\% \times I_\gamma^{max}$
- $I_\gamma > 10\% \times I_\gamma^{max}$



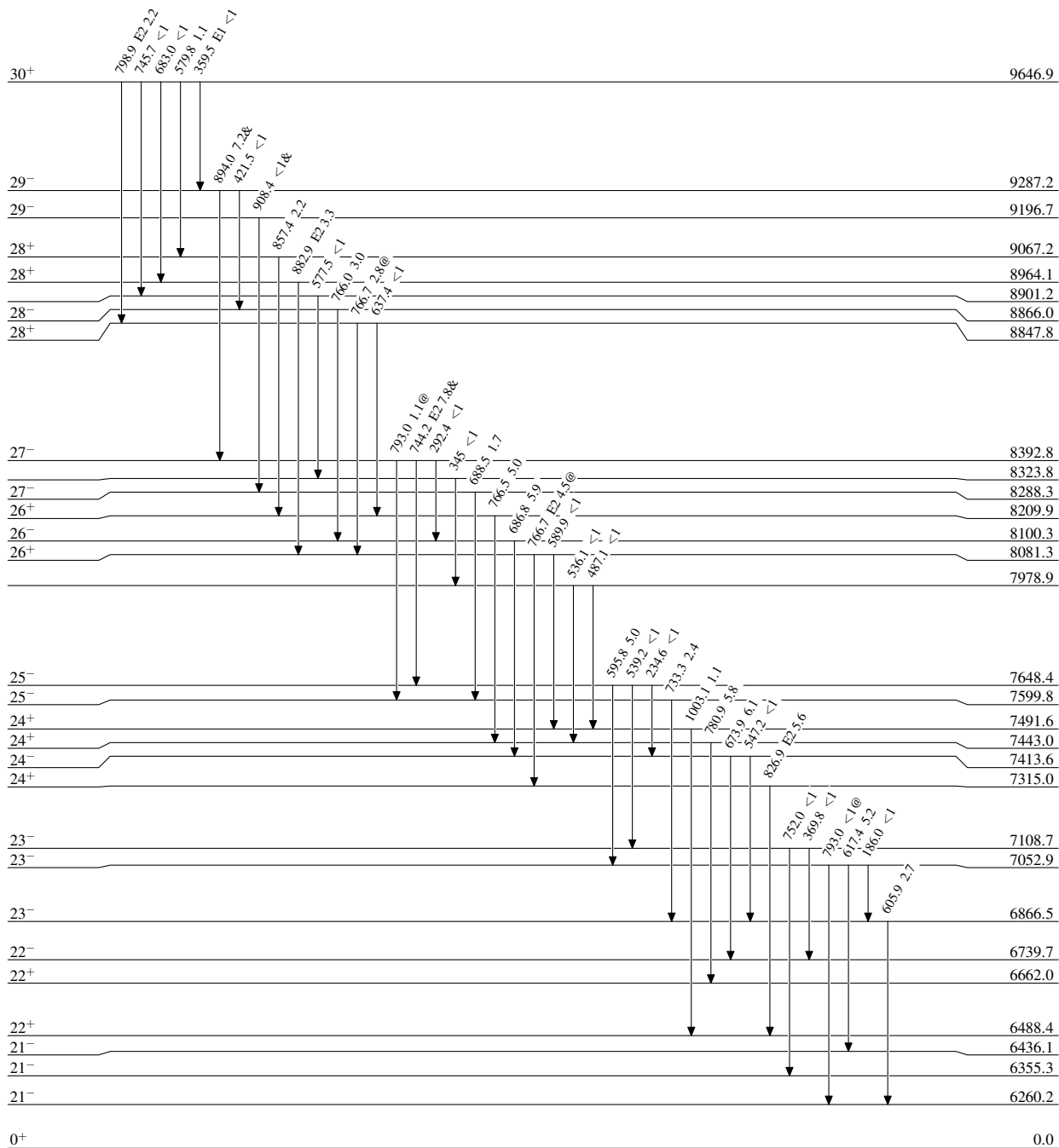
<sup>114</sup>Cd(<sup>48</sup>Ca,6n $\gamma$ ):1 2009Pa17

Level Scheme (continued)

Intensities: Relative I $\gamma$   
 & Multiply placed: undivided intensity given  
 @ Multiply placed: intensity suitably divided

Legend

- I $\gamma$  < 2%  $\times$  I $\gamma^{max}$
- I $\gamma$  < 10%  $\times$  I $\gamma^{max}$
- I $\gamma$  > 10%  $\times$  I $\gamma^{max}$





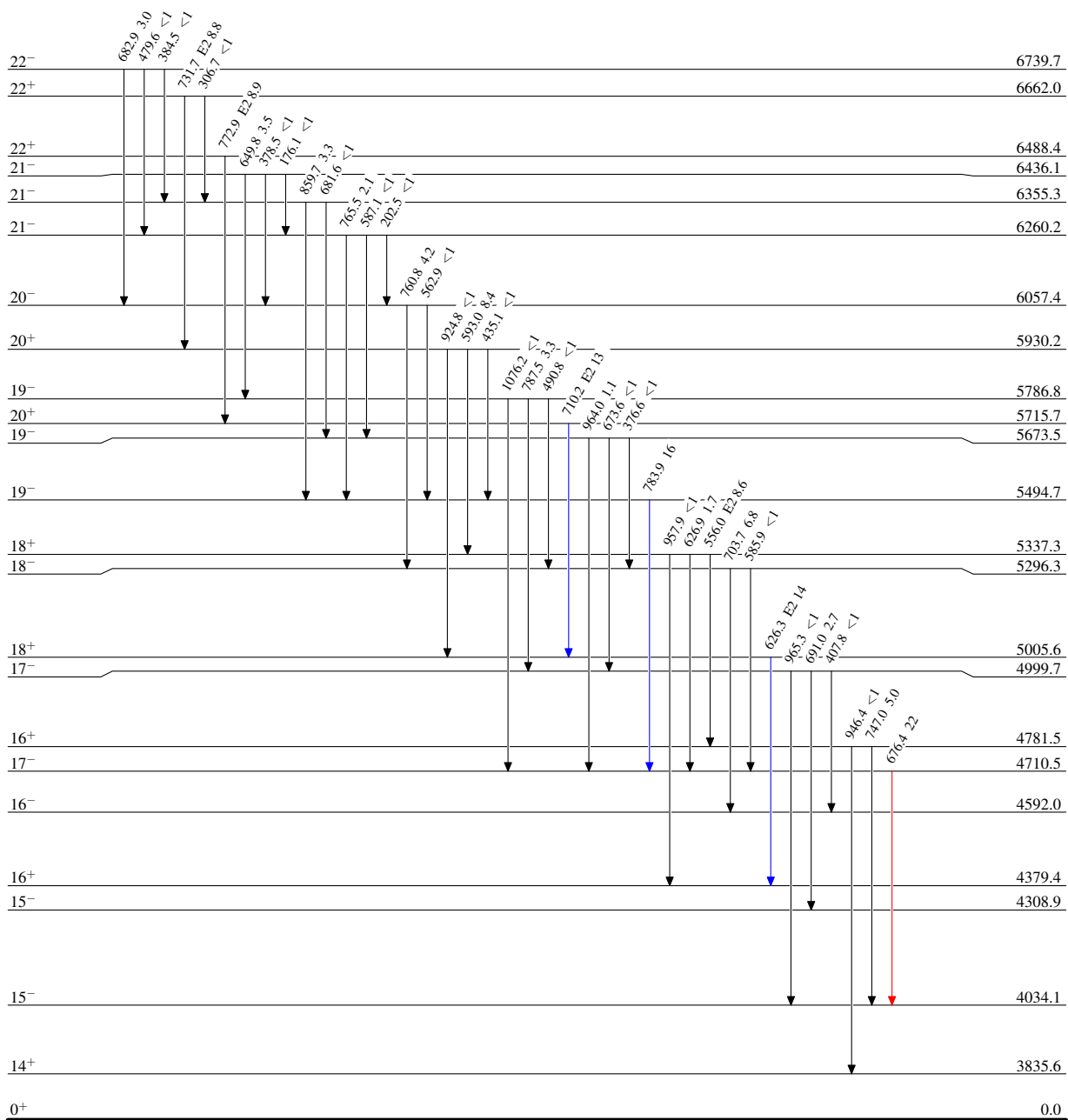
$^{114}\text{Cd}(^{48}\text{Ca},6n\gamma):1$  2009Pa17

Level Scheme (continued)

Intensities: Relative  $I_\gamma$   
& Multiply placed: undivided intensity given  
@ Multiply placed: intensity suitably divided

Legend

- $I_\gamma < 2\% \times I_\gamma^{max}$
- $I_\gamma < 10\% \times I_\gamma^{max}$
- $I_\gamma > 10\% \times I_\gamma^{max}$



$^{156}\text{Er}_{88}$

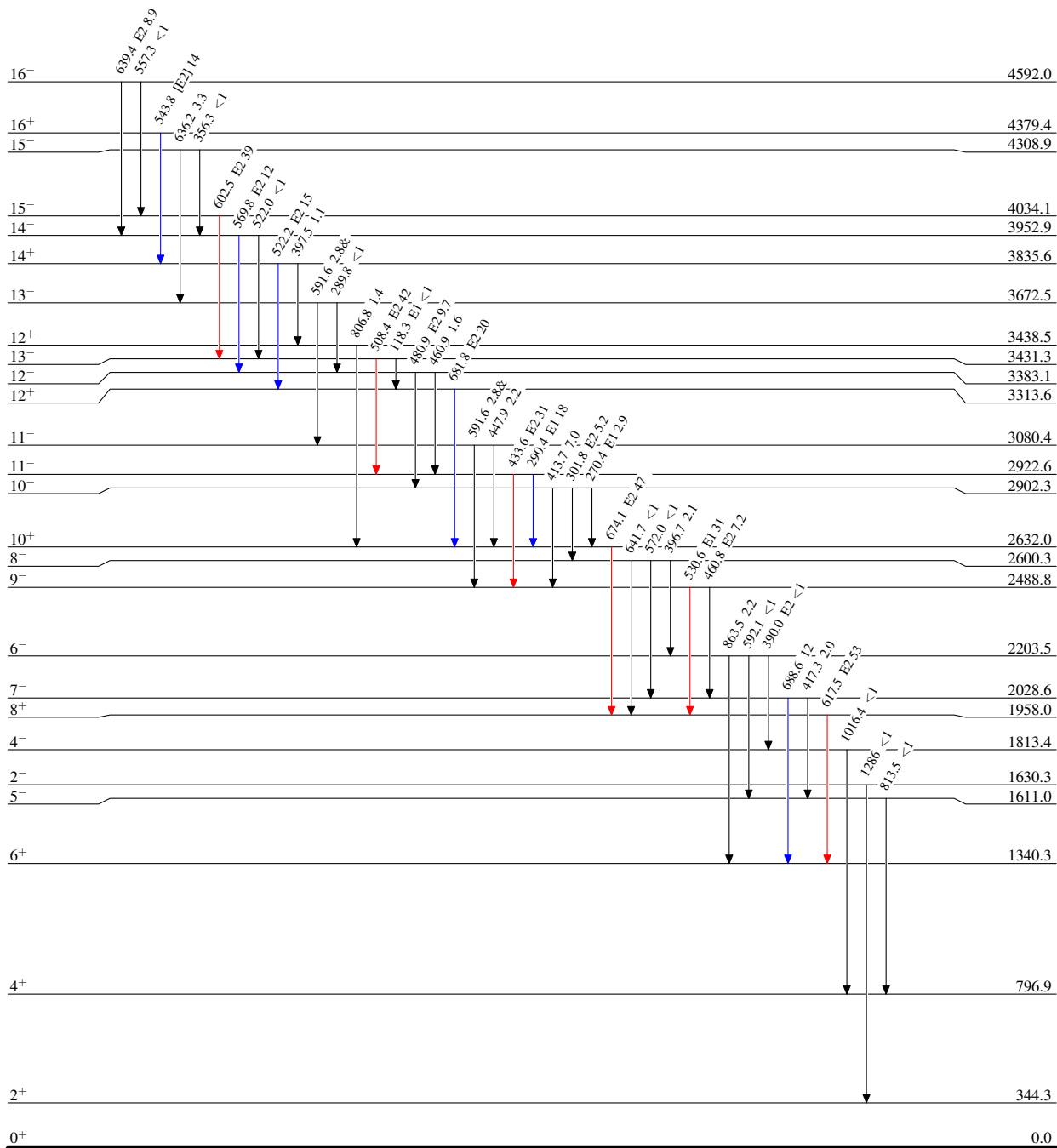
<sup>114</sup>Cd(<sup>48</sup>Ca,6n $\gamma$ ):1 2009Pa17

Level Scheme (continued)

Intensities: Relative I <sub>$\gamma$</sub>   
 & Multiply placed: undivided intensity given  
 @ Multiply placed: intensity suitably divided

Legend

- I <sub>$\gamma$</sub>  < 2% × I <sub>$\gamma$</sub> <sup>max</sup>
- I <sub>$\gamma$</sub>  < 10% × I <sub>$\gamma$</sub> <sup>max</sup>
- I <sub>$\gamma$</sub>  > 10% × I <sub>$\gamma$</sub> <sup>max</sup>



<sup>156</sup>Er<sub>88</sub>

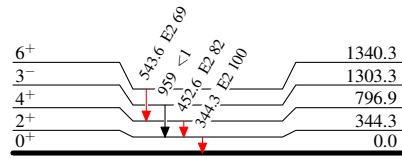
$^{114}\text{Cd}(^{48}\text{Ca},6n\gamma):1$  2009Pa17

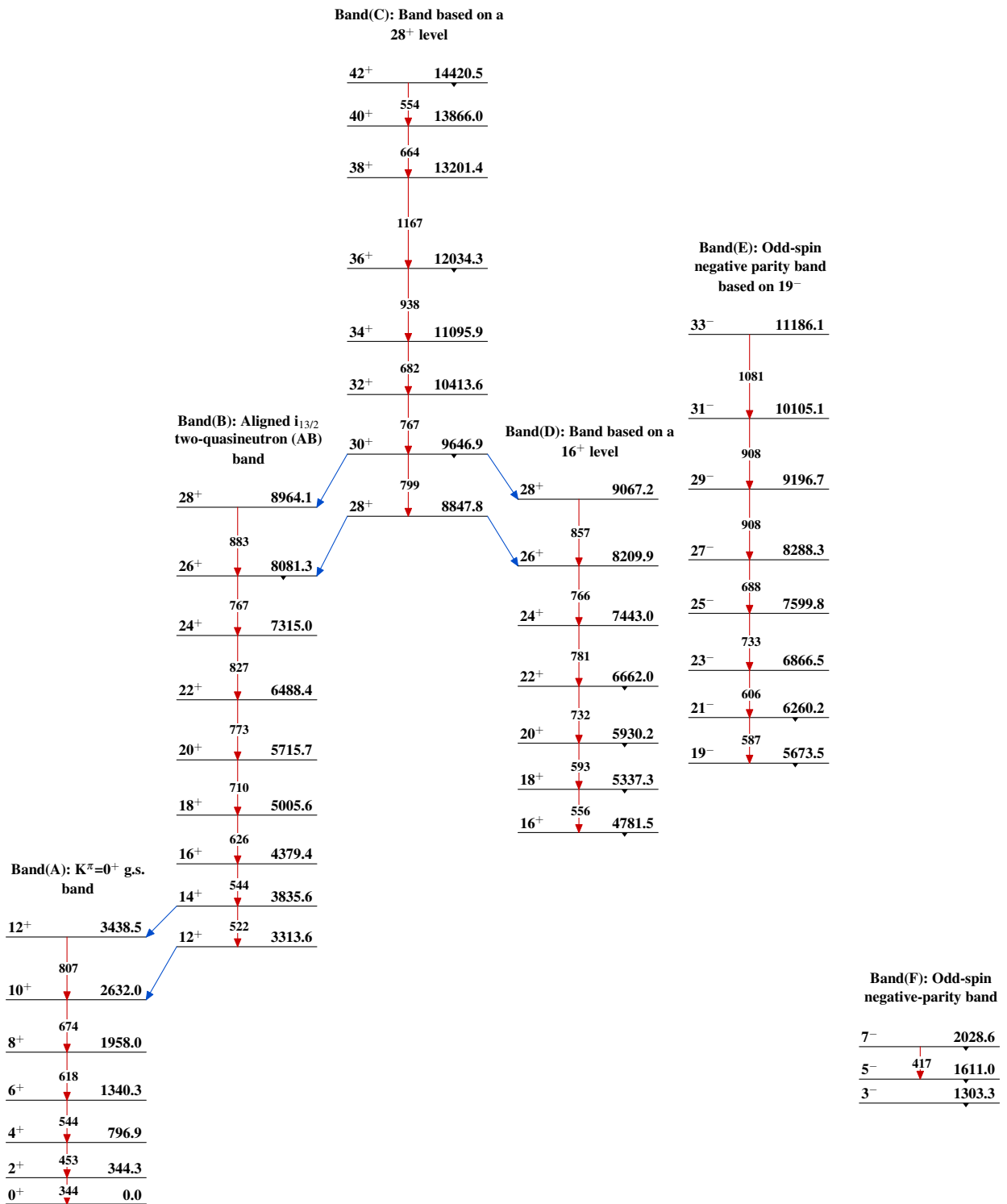
## Level Scheme (continued)

Intensities: Relative  $I_\gamma$   
 & Multiply placed: undivided intensity given  
 @ Multiply placed: intensity suitably divided

## Legend

—→  $I_\gamma < 2\% \times I_\gamma^{\max}$   
 —→  $I_\gamma < 10\% \times I_\gamma^{\max}$   
 —→  $I_\gamma > 10\% \times I_\gamma^{\max}$

 $^{156}\text{Er}_{88}$

$^{114}\text{Cd}(^{48}\text{Ca},6n\gamma):1$  2009Pa17

$^{114}\text{Cd}(^{48}\text{Ca},6n\gamma):1$  2009Pa17 (continued)